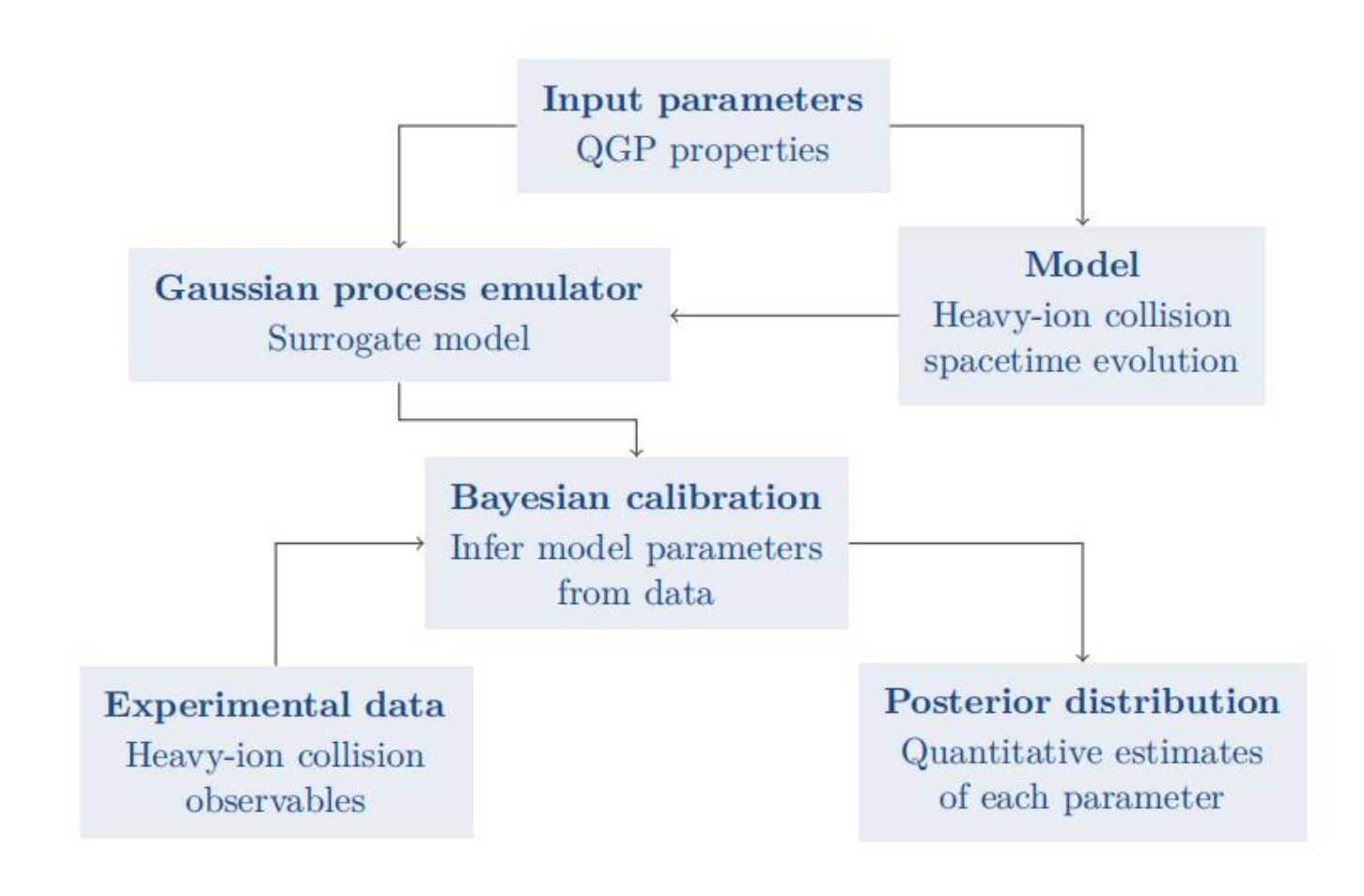
利用HIC模型提取声速

Qiyan Cai

Bayesian model

• 流程图



• 用Latin hypercube生成一组9 维的随机数数据,准备输入到model中。

TABLE I. Input parameter ranges for the initial condition and hydrodynamic models.

Parameter	Description	Range 100–250	
Norm	Overall normalization		
p	Entropy deposition parameter	-1 to +1	
k	Multiplicity fluct. shape	0.8 - 2.2	
w	Gaussian nucleon width	0.4-1.0 fm	
$\eta/s \text{ hrg}$	Const. shear viscosity, $T < T_c$	0.3 - 1.0	
$\eta/s \min$	Shear viscosity at T_c	0-0.3	
η/s slope	Slope above T_c	$0-2 \text{ GeV}^{-1}$	
ζ/s norm	Prefactor for $(\zeta/s)(T)$	0-2	
$T_{ m switch}$	Particlization temperature	135-165 MeV	

代码上:

```
# 5.02 TeV has ~1.2x particle production as 2.76 TeV
# [https://inspirehep.net/record/1410589]
norm range = {
   2760: (8., 20.),
   5020: (10., 25.),
}[self.beam_energy]
self.keys, labels, self.range = map(list, zip(*[
   ('norm',
                  r'{Norm}',
                                                   (norm_range
   ('trento p', r'p',
                                                   ( -0.5,
                                                             0.5)),
   ('fluct_std', r'\sigma {fluct}',
                                                             2.0)),
                                                     0.0,
   ('nucleon_width', r'w [{fm}]',
                                                             1.0)),
                                                  ( 0.4,
   ('dmin3', r'd {min} [{fm}]',
                                                     0.0, 1.7**3)),
   ('tau_fs', r'\tau {fs} [{fm}/c]',
                                                             1.5)),
                                                     0.0,
   ('etas_hrg',
                   r'\eta/s {hrg}',
                                                     0.1.
                                                             0.5)),
   ('etas min',
                   r'\eta/s {min}',
                                                             0.2)),
                                                     0.0,
                    r'\eta/s {slope} [{GeV}^{-1}]', (
                                                             8.0)),
   ('etas_slope',
                                                     0.0,
   ('etas crv',
                   r'\eta/s {crv}',
                                                  (-1.0, 1.0)
   ('zetas_max',
                   r'\zeta/s {max}',
                                                     0.0, 0.1)),
   ('zetas_width', r'\zeta/s {width} [{GeV}]',
                                                          0.1)),
                                                   ( 0.0,
   ('zetas_t0',
                    r'\zeta/s T_0 [{GeV}]',
                                                  (0.150, 0.200)),
   ('Tswitch',
                    r'T {switch} [{GeV}]',
                                                  (0.135, 0.165)),
```

- Latin hypercube:
- 半随机的,n维空间分布。

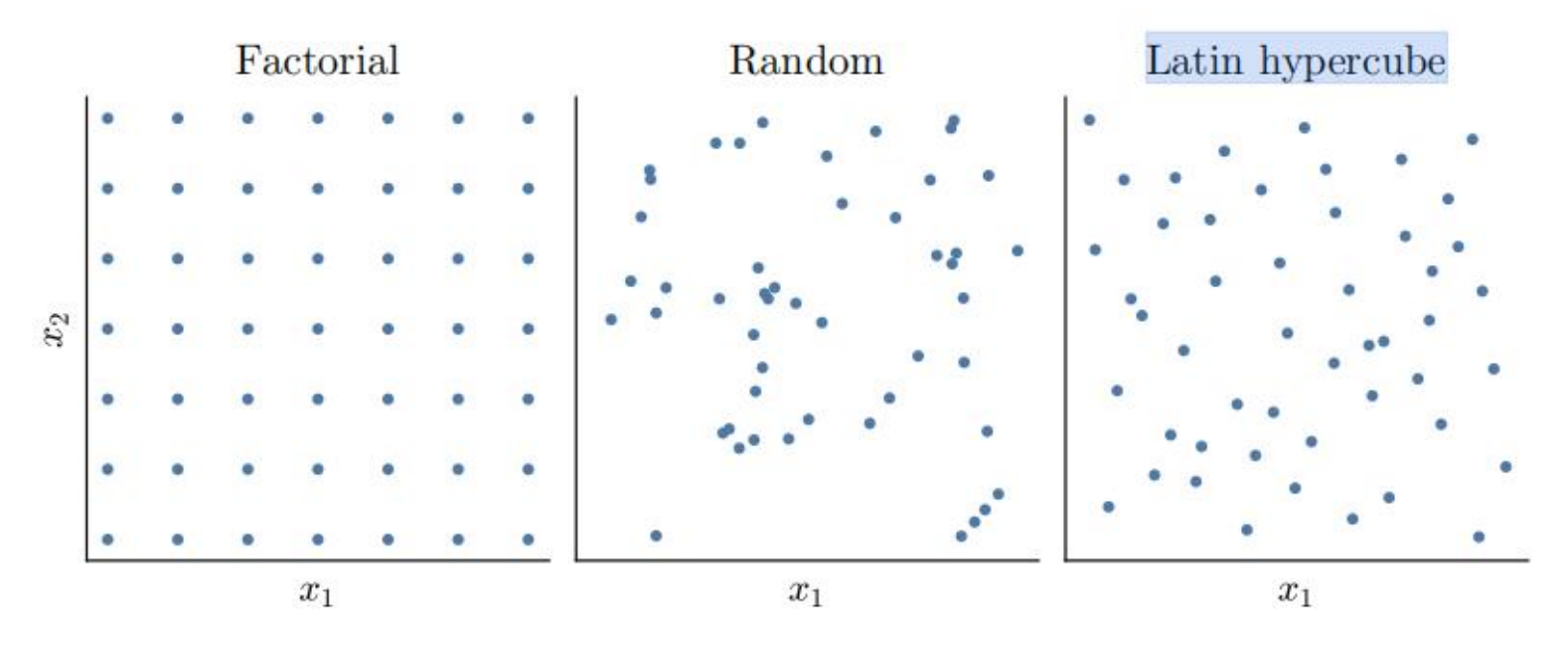


Figure 4.3 Examples of factorial, random, and maximin Latin hypercube designs in two dimensions. Each has $7^2 = 49$ points.

model

• 用Latin hypercube生成了一组九维参数后,我们将这组参数放到 model里。

The collision model consists of the following stages:

- <u>trento</u> initial conditions
- <u>freestream</u> pre-equilibrium
- OSU hydro viscous 2+1D hydrodynamics
- <u>frzout</u> particlization
- <u>UrQMD</u> hadronic afterburner

model output

```
results = np.empty((), dtype=[
    ('initial_entropy', float_t),
    ('nsamples', int_t),
    ('dNch_deta', float_t),
    ('dET_deta', float_t),
    ('dN_dy', [(s, float_t) for (s, _) in species]),
    ('mean_pT', [(s, float_t) for (s, _) in species]),
    ('pT_fluct', [('N', int_t), ('sum_pT', float_t), ('sum_pTsq', float_t)]),
    ('flow', [('N', int_t), ('Qn', complex_t, 8)]),
])
```

```
species = [
    ('pion', 211),
    ('kaon', 321),
    ('proton', 2212),
    ('Lambda', 3122),
    ('Sigma0', 3212),
    ('Xi', 3312),
    ('Omega', 3334),
]
```

Gaussian process emulators

- 计算model里对应的观测量,将这些观测量组织为我们的训练集Y。
- dN/dy (π, K, p)
- mean pT (π, K, p)
- $vn{2}$, n=2,3,4
- 将model output 计算得到的物理量作为训练矩阵Y,将Latin hypercube生成的九维参数作为设计矩阵X,使用主成分分析,每 个主成分分别用高斯过程模拟,构建代理模型,在emulators中预 测其他参数点的输出。

Bayesian calibration

• 利用贝叶斯定理,将我们对参数的先验知识与模型计算和实验数据相结合,得到参数的后验概率分布。

$$P(\mathbf{x}_{\star}|X, Y, \mathbf{y}_{\mathrm{exp}}) \propto P(X, Y, \mathbf{y}_{\mathrm{exp}}|\mathbf{x}_{\star})P(\mathbf{x}_{\star})$$

\mathbf{x}_{\star}	待估计的"真实"模型参数
X, Y	已知的训练数据(参数设计点 X 和对应的模型输出 Y)
$\mathbf{y}_{\mathrm{exp}}$	实验观测数据
后验概率 $P(\mathbf{x}_{\star} \ \dots)$	在已知所有数据和实验结果的条件下,参数 \mathbf{x}_{\star} 为真实值的概率。这是我们最终想要的结果。
似然函数 $P(\dots \ \mathbf{x}_{\star})$	假设参数 \mathbf{x}_{\star} 是真实的,那么观察到当前实验数据 $\mathbf{y}_{\mathrm{exp}}$ 的概率有多大。
先验概率 $P(\mathbf{x}_{\star})$	在考虑任何数据之前,我们对参数 \mathbf{x}_{\star} 的 初始认知 (例如,基于物理知识的合理范围)。

Bayesian calibration

- 将实验数据转换到主成分空间,得到zexp,然后计算似然函数:
- (z_{*}是x_{*}对应的主成分预测值,大sigma是协方差矩阵)

$$\begin{split} P &= P(X, Y, \mathbf{y}_{\text{exp}} | \mathbf{x}_{\star}) \\ &= P(X, Z, \mathbf{z}_{\text{exp}} | \mathbf{x}_{\star}) \\ &\propto \exp \left\{ -\frac{1}{2} (\mathbf{z}_{\star} - \mathbf{z}_{\text{exp}})^{\intercal} \Sigma_{z}^{-1} (\mathbf{z}_{\star} - \mathbf{z}_{\text{exp}}) \right\} \end{split}$$

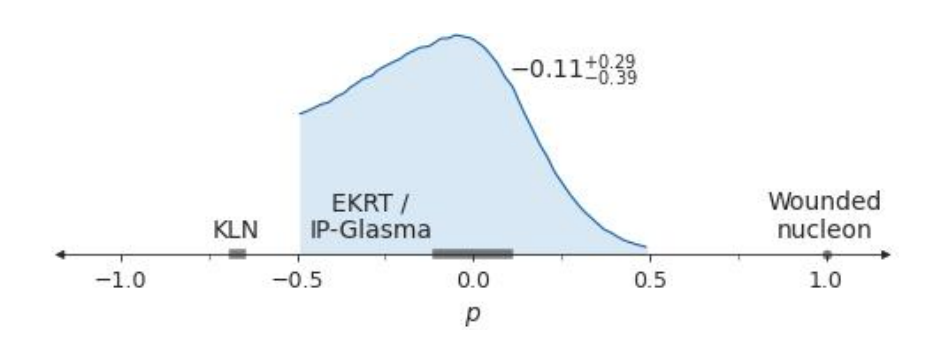
Bayesian calibration

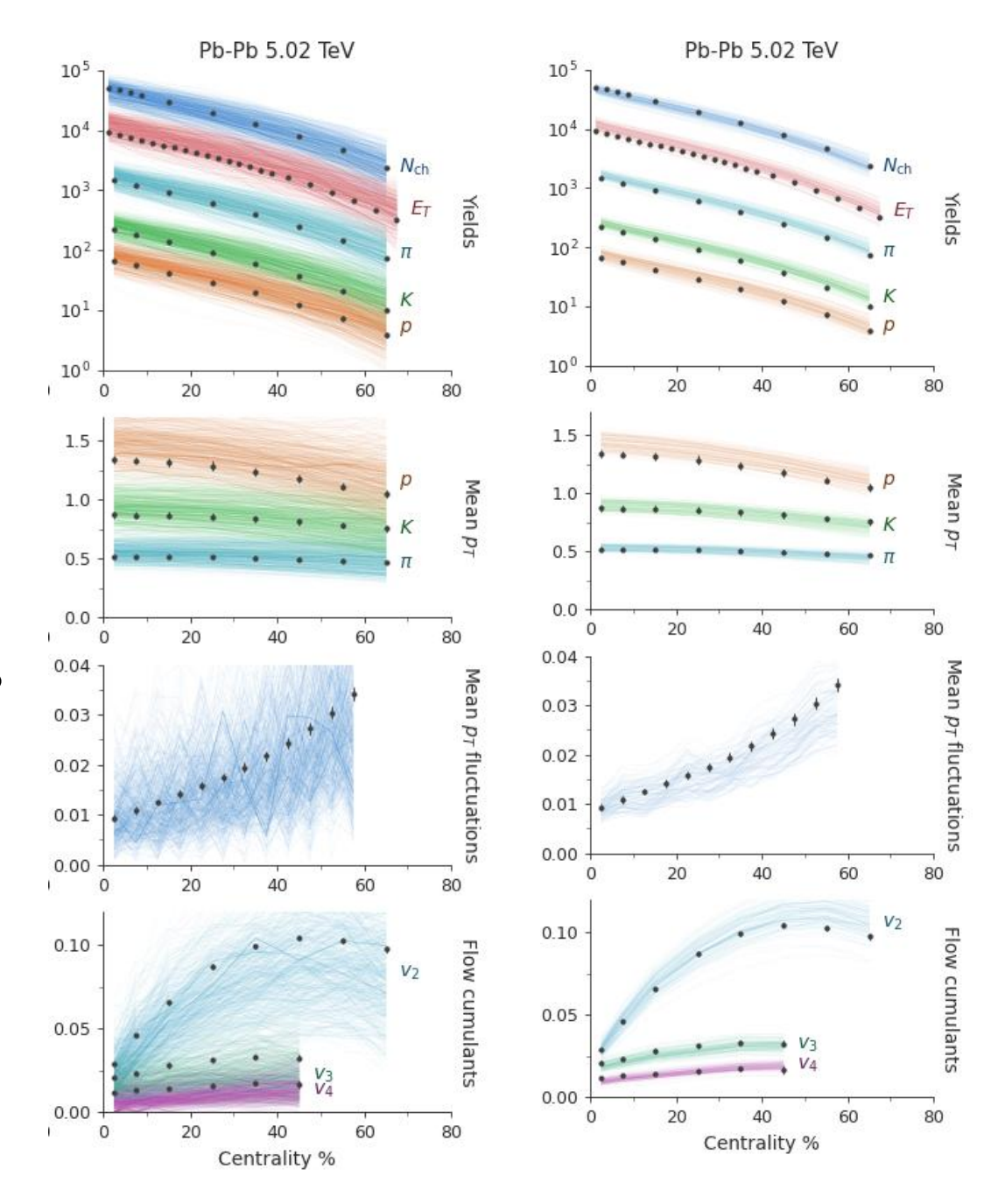
将先验和似然代入贝叶斯公式,就得到了后验概率。这个后验概率分布是一个在9维参数空间中的复杂函数,无法直接写出解析解。

- 后验采样: 利用MCMC(Markov chain Monte Carlo)。
- 使用仿射不变集合采样器(affine-invariant ensemble sampler,一种MCMC算法),它使用了大量相互依赖的行走者。我们先运行10⁶步骤,让chain达到稳定状态,放弃这些"老化"样本,然后生成10⁷后验样本。

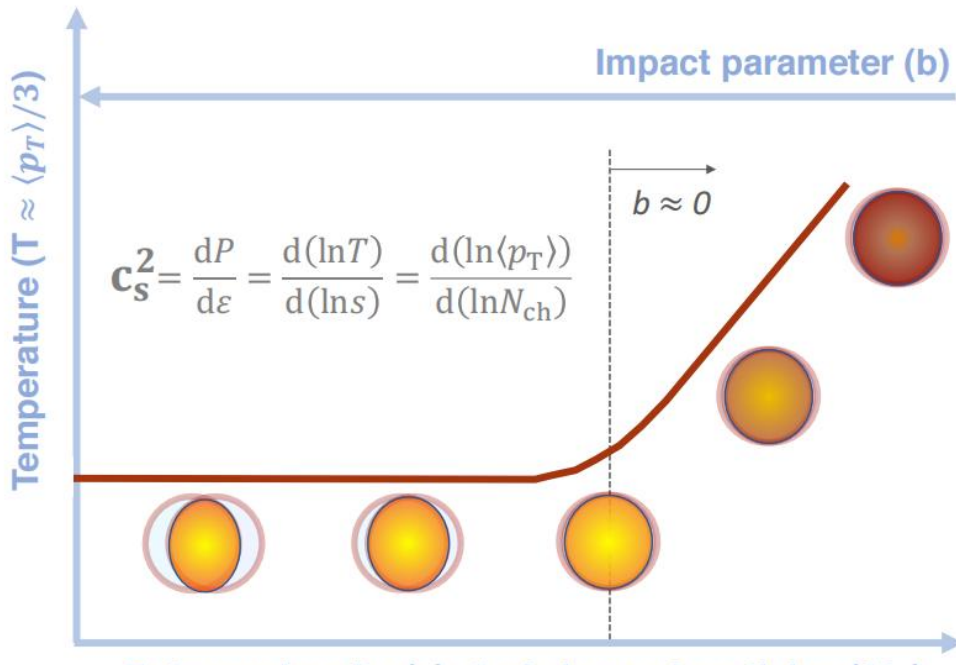
• 左边是利用model output 直接计算得到的,右边是经过bayesian分析后得到的。

• 于是得到了对应的一组初始参数。 再次将它们放入model中进行计 算。

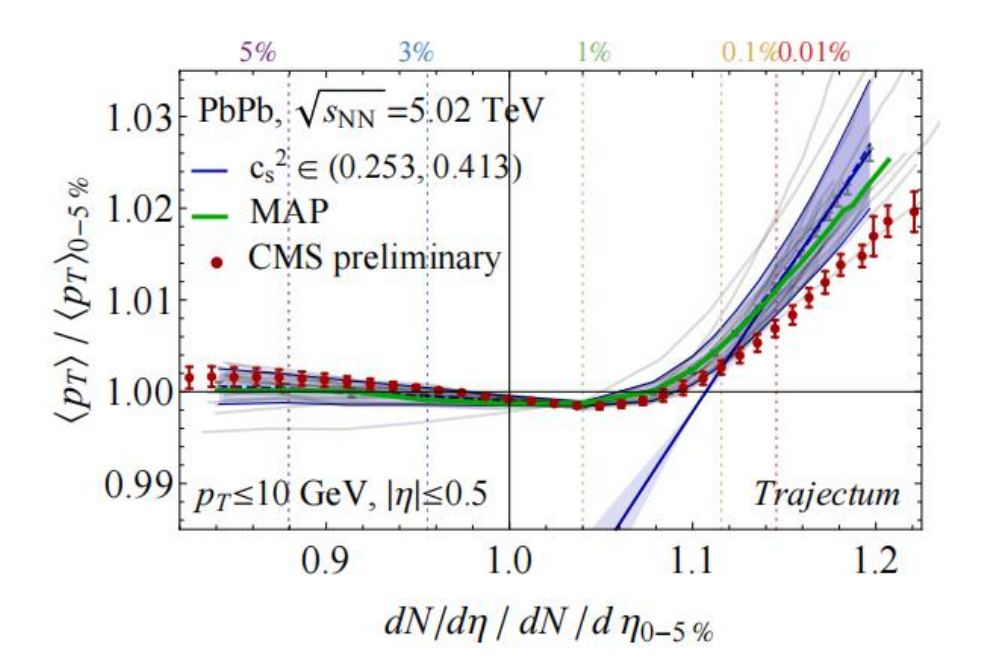




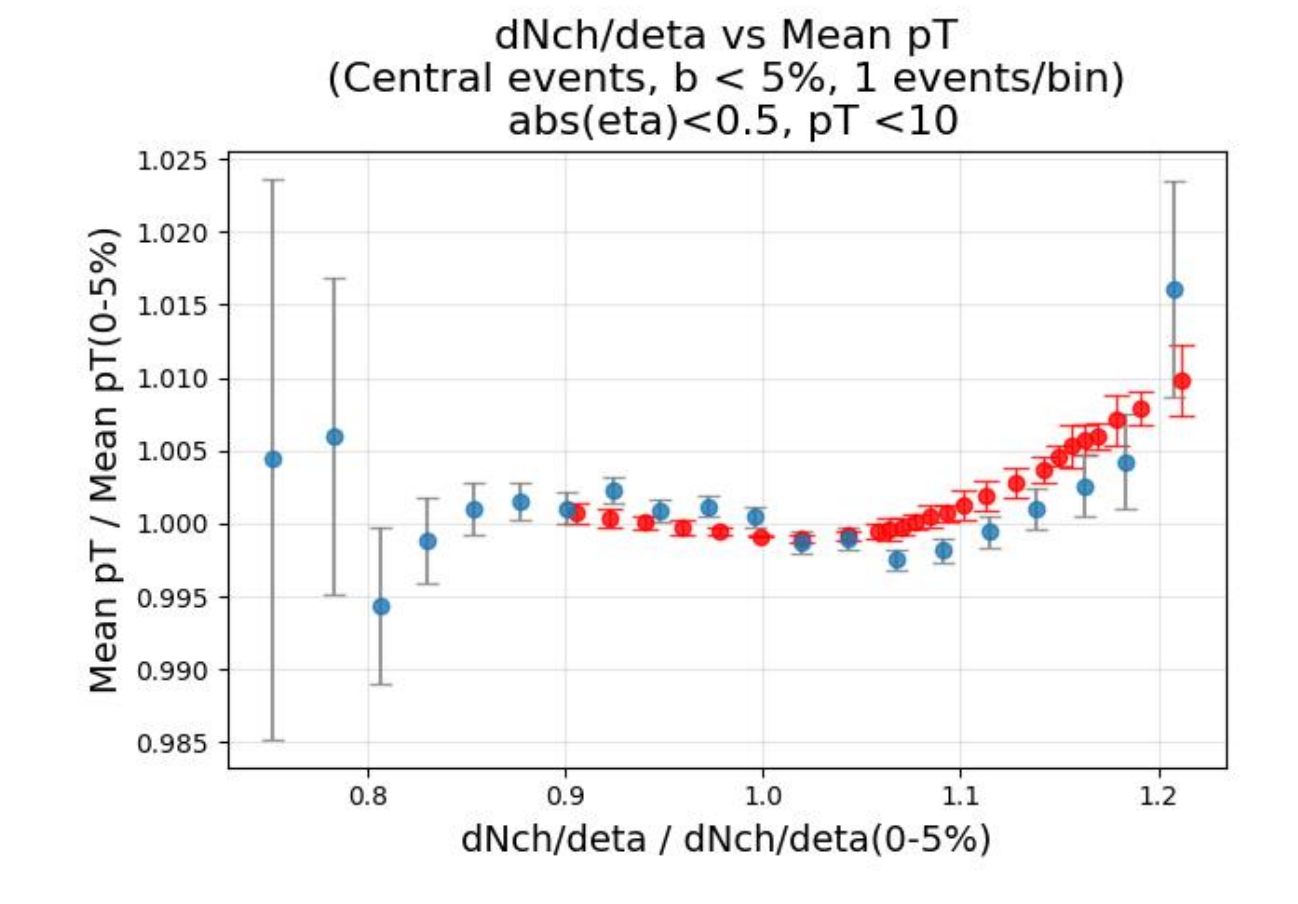
- 2401.06896
- 右上是理论图示和公式;
- 右下是CMS数据和TRAJECTUM模型的 计算结果。



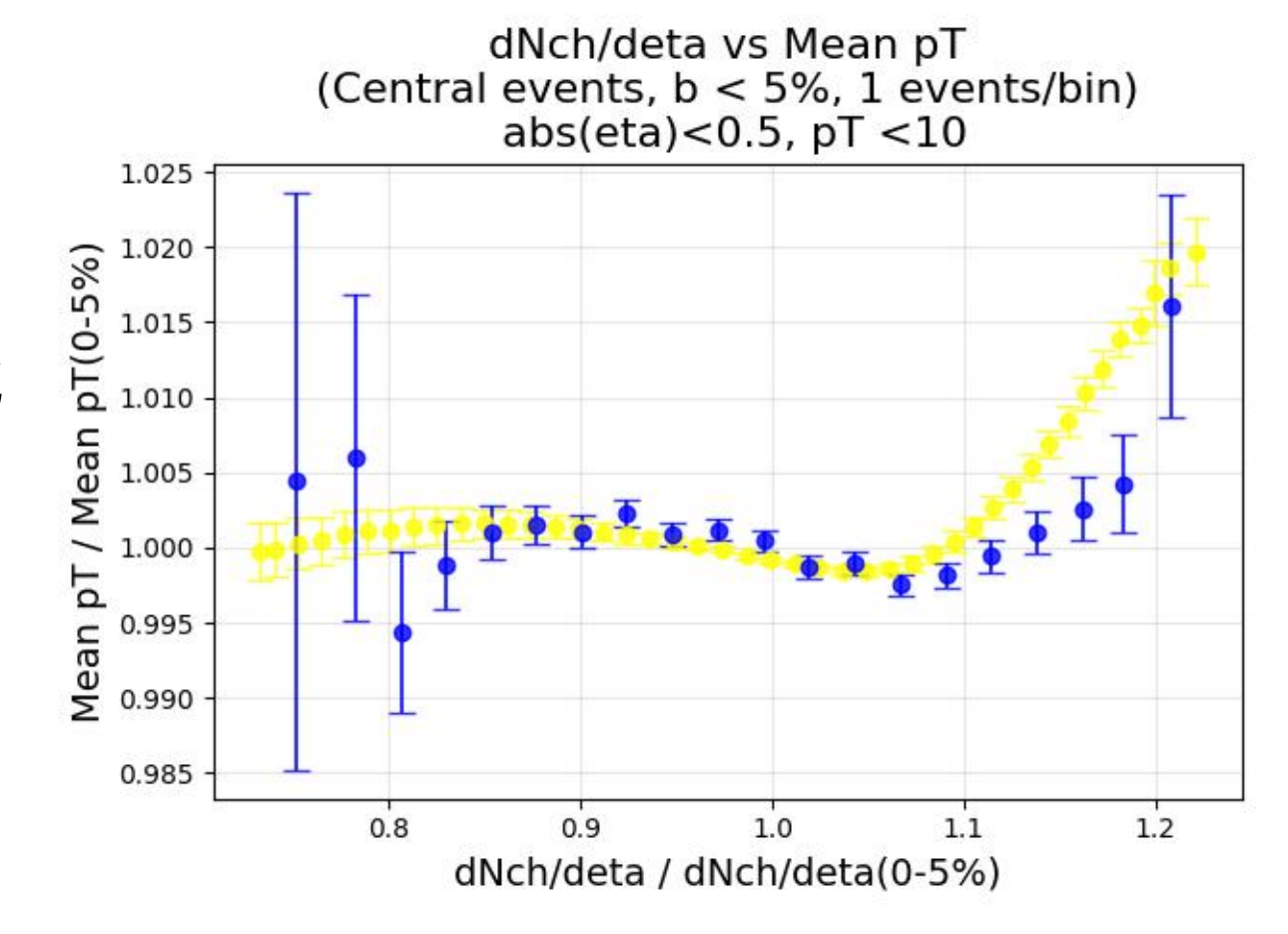
Entropy density (s), # of charged particles (N_{ch})



- track cut:
- -0.5 < eta < 0.5
- 0.15 < pT < 10
- 红点是前几页的CMS的图上, 从hepdata上找到的点。
- ·蓝点是hic模型下的。



- track cut:
- 0.5 < abs(eta) < 0.8
- 0.15 < pT < 10
- 黄点是LHC的,从hepdata上找到的点。
- · 蓝点是hic模型下的。



• •

- 第一个参数norm影响的是多重数。
- 在treno模型的计算中:
- auto t = norm_ * gen_mean(TA_[iy][ix], TB_[iy][ix]);
- //T是A和B两个核的participant thickness function (具体在接下来两页有解释)
- TR_[iy][ix] = t;
- multiplicity_ = dxy_ * dxy_ * sum; // sum是TR_所有元素的和

- 第二个参数p
- 约化厚度定义为参与者核厚度的广义平均值

-p, --reduced-thickness FLOAT

Reduced thickness parameter p. The reduced thickness is defined as the generalized mean of participant nuclear thickness

$$T_R(p;T_A,T_B) = \left(rac{T_A^p + T_B^p}{2}
ight)^{1/p}$$

The default is p = 0, which corresponds to the geometric mean.

- •第三个参数k
- 也和treno模型中使用到的约化厚度有关。
- k是gamma分布的参数: $P_k(x) = rac{k^k}{\Gamma(k)} x^{k-1} e^{-kx}$
- participant thickness function: $\tilde{T}(x,y) = \sum_{i=1}^{N_{\text{part}}} \gamma_i T_p(x-x_i,y-y_i)$
- 第四个参数就是核的Gaussian分布的参数: $T_p(x,y) = \frac{1}{2\pi w^2} \exp\left(-\frac{x^2+y^2}{2w^2}\right)$

• 第五到七个参数:

$$(\eta/s)(T) = \begin{cases} (\eta/s)_{\min} + (\eta/s)_{\text{slope}}(T - T_c) & T > T_c \\ (\eta/s)_{\text{hrg}} & T \le T_c \end{cases}$$

- η: 剪切黏度 (shear viscosity), 描述流体层之间相对运动时的摩擦。
- 黏滞系数与熵密度的比值η/s: 无量纲。
- 理想流体: η/s → 0
- 高黏性流体: η/s 很大
- QGP 在强相互作用下,被认为接近完美流体,η/s很小。

- 在高温极限(接近自由夸克-胶子气体),η/s 应该随温度上升而增大(流体变"稀薄",更容易滑动)。
- 在低温强子相(HRG), η/s 较大。
- 因此 η/s(T) 通常在相变温度 Tc 附近最小, 类似一个 "V 型曲线"。
- 但是这个不能直接测量。于是只能比较模拟与实验数据来间接约束。

- 第八个参数: (ζ/s)norm用来缩放右边的函数。
- ζ: 体黏度。描述体积膨胀/压缩时的 阻力。
- 在 conformal (尺度不变) 理论里 ζ=0。
- 但在 QCD 中,在 Tc 附近尺度对称性 被强烈破坏 → ζ/s 在 Tc 附近会出现一 个峰值。
- 在远离 Tc 的低温/高温区, ζ/s 较小。

$$(\zeta/s)(T) = \begin{cases} C_1 + \lambda_1 \exp[(x-1)/\sigma_1] & T < T_a \\ + \lambda_2 \exp[(x-1)/\sigma_2] & T < T_a \end{cases}$$

$$(\zeta/s)(T) = \begin{cases} A_0 + A_1 x + A_2 x^2 & T_a \le T \le T_b \\ C_2 + \lambda_3 \exp[-(x-1)/\sigma_3] & T > T_b \end{cases}$$

with $x = T/T_0$ and coefficients

$$C_1 = 0.03, \quad C_2 = 0.001,$$

 $A_0 = -13.45, \quad A_1 = 27.55, \quad A_2 = -13.77,$
 $\sigma_1 = 0.0025, \quad \sigma_2 = 0.022, \quad \sigma_3 = 0.025, \quad \sigma_4 = 0.13,$
 $\lambda_1 = 0.9, \quad \lambda_2 = 0.22, \quad \lambda_3 = 0.9, \quad \lambda_4 = 0.25,$
 $T_0 = 0.18 \text{ GeV}, \quad T_a = 0.995 T_0, \quad T_b = 1.05 T_0.$

- 观测量v₂、 v₃、 v₄: 对 η/s 非常敏感。η/s 越大,流体内部摩擦越强 → 各向异性流衰减 → vn 变小。
- mean pT 和 dN/dy: 对 ζ/s 和 Tswitch 更敏感。ζ/s 大 → 膨胀阻力大 → mean pT 下降。
- 贝叶斯推断框架
- 先用一大批参数点跑模拟,得到观测量分布
- 与实验数据比较
- 用 MCMC 得到参数的后验分布 ,从统计意义上给出 η/s(T)、ζ/s(T) 的范围和形状。

• 第九个参数是上一页讲的Tswitch。强子化的温度。

Gaussian process emulators

• 使用PCA (主成分分析) 将输出转换为少数几个主成分Z $Z = \sqrt{m}YU$

• 每个主成分分别用高斯过程模拟,再转换回物理空间: $Y_* = \frac{1}{\sqrt{m}} Z_* U^T$